

خواص تراگسیل بلورهای فوتونی گرافن پایه یک بعدی حاوی نقص

زیبا سالکی^۱، امیر مدنی^۲ و صمد روشن انتظار^۱

^۱دانشکده فیزیک، دانشگاه تبریز

^۲گروه مهندسی اپتیک و لیزر، دانشگاه بناب

چکیده - در این مقاله اثر نanolایه‌های گرافن بر خواص تراگسیل یک بلور فوتونی یک بعدی حاوی نقص با استفاده از روش ماتریس انتقال مورد مطالعه قرار گرفته است. نشان داده شده است که دو نوع مد نقص در گاف باندهای ساختار ایجاد می‌شود، نوع اول مد نقص معمولی است که به علت شکست تنابوب شبکه دی الکتریک در گاف باند برآگ تشکیل می‌شود. نوع دیگر که در گاف باند القایی گرافن قابل مشاهده است ناشی از شکست تنابوب شبکه گرافنی است. لذا مد نقص القایی گرافن نامگذاری شده است. هم چنین نتایج بیانگر این است که این مد نقص برخلاف مد نقص معمولی برآگ فقط برای لایه‌ی نقص عریض ظاهر می‌گردد و از آن جایی که گذردهی nanolایه‌های گرافن از طریق رسانندگی سطحی وابسته به پتانسیل شیمیایی گرافن است، فرکانس مد نقص القایی گرافن از طریق اعمال ولتاژ گیت قابل کنترل می‌باشد.

کلید واژه - بلور فوتونی، پتانسیل شیمیایی، تنظیم پذیری، مد نقص، nanolایه گرافن

Transmission properties of one-dimensional graphene based defective photonic crystals

Ziba Saleki¹, Amir Madani² and Samad Roshan Entezar¹

¹ Faculty of Physics, University of Tabriz

² Department of Laser and Optical Engineering, University of Bonab

Abstract- In this paper the effect of graphene nano-layers on the transmission properties of a defective one-dimensional photonic crystal have been investigated using the transfer matrix method. It is shown that two kinds of the defect modes can be found in the band gaps of the structure. One kind is the traditional defect mode which is created in the Bragg gaps of the structure and is due to the breaking of the periodicity of the dielectric lattice. The other one is created in the graphene induced band gap. Such a defect mode which we call it the graphene induced defect mode (GIDM) is due to the breaking of the periodicity of the graphene lattice. However, our investigations reveal that only in the case of wide defect layers one can obtain the graphene induced defect modes. Since the permittivity of graphene nano-layer depends on its chemical potential, the frequency of the GIDMs can be controlled via a gate voltage.

Keywords: Photonic crystal, Chemical potential, Tunability, Defect layer, Graphene nano-layer.

این مقاله در صورتی دارای اعتبار است که در سایت www.opsi.ir قابل دسترسی باشد.

۱- مقدمه

شامل نانو لایه های گرافن که در آن گرافن نقش المان

کنترل کننده را داشته باشد، سوق می دهد.

در این مقاله با در نظر گرفتن یک بلور فوتونی یک بعدی دی الکتریک- گرافن حاوی نقص و با استفاده از روش ماتریس انتقال، طیف تراگسیل و رفتار مدنقص را برای هر دو قطبش TE و TM مطالعه کرده و نشان داده ایم که با تغییر پتانسیل شیمیایی گرافن، می توان طول موج جایگزیده در داخل گاف باند را کنترل کرد.

۲- معرفی ساختار و محاسبات تئوری

ساختار مورد مطالعه یک بلور فوتونی یک بعدی حاوی نقص با آرایش $N^D(GBGA)^N$ است که در محیط آزاد قرار گرفته است (شکل ۱). لایه های A و B، دی الکتریک های مختلف همسانگرد و غیر مغناطیسی با ضرایب گذرهی $\epsilon_A = 5$ و $\epsilon_B = 2.5$ و ضخامت های گذردهی $d_A = d_B = 10\mu\text{m}$ می باشند. لایه D به ضخامت d_D و $N=5$ گذردهی ϵ_D نیز نمایشگر لایه نقص بوده و تعداد دوره در دو طرف لایه نقص است. در اینجا محور z در راستای عمود بر مرز لایه ها که به موازات صفحه y-x می باشند، در نظر گرفته شده است. نانولایه های گرافن با ضخامت $d_G = 1\text{nm}$ بین لایه های دی الکتریک قرار گرفته اند و ویژگی اپتیکی گرافن با گذردهی نسبی آن $\eta_0 = 1 + i\sigma_G \eta_0 / k_0 d_G$ امپدانس هوا و $k_0 = 2\pi/\lambda$ بردار موج خلا و σ_g بیانگر رسانندگی سطحی گرافن است که بر اساس فرمول کوبو در فرکانس های پایین ($\mu_c < \hbar\omega$) عبارت است از [6]:

$$\sigma_g = \frac{e^2}{4\hbar} \frac{i}{2\pi} \left\{ \frac{16K_b T}{\hbar\omega} \ln(2 \cosh(\frac{\mu}{2K_b T})) \right\}. \quad (1)$$

در این رابطه e بار الکترون، k_b ثابت بولتزمن، T دمای مطلق و μ_c پتانسیل شیمیایی گرافن می باشد که از طریق ولتاژ گیت قابل کنترل است. فرض می شود موج تختی از هوا با زاویه θ نسبت به خط عمود بر سطح ساختار به بلور تابیده شود. تراگسیل ساختار با استفاده از روش ماتریس انتقال [7] بصورت زیر محاسبه می شود:

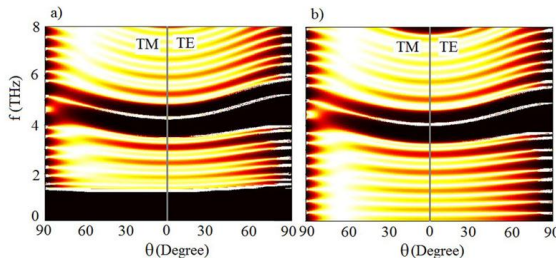
$$T = \left| \frac{1}{M(1,1)} \right|^2 \quad (2)$$

بلورهای فوتونی ساختارهای مصنوعی با ثابت دی الکتریک متناوب فضایی هستند که به واسطه هی توانایی در کنترل و دستکاری جریان نور در چند دهه اخیر توجه کثیری از محققان را به سوی خود جلب کرده است. مهمترین ویژگی این ساختارهای لایه ای وجود گاف باند فوتونی یا نوار ممنوعه فرکانسی است که عبور امواج الکترومغناطیسی را در ناحیه فرکانسی معینی تقریباً ناممکن می سازد [1]. مشخصه دیگر بلورهای فوتونی، جایگزیده کردن نور حول نقص ایجاد شده در ساختار می باشد. اگر به هر ترتیبی ساختار تناوبی بلورهای فوتونی بهم زده شود، بلور دچار نقص می گردد که این امر با تغییر پارامترهای فیزیکی نظیر ضخامت و یا جنس لایه ها میسر می گردد [2]. از طرفی قابل تنظیم بودن گاف باندها و مدهای نقص برای داشتن فیلترهای باند باریک در ناحیه فرکانسی مطلوب از جنبه های اساسی کنترل طیف تراگسیل محسوب می شود که با کنترل خواص اپتیکی مواد سازنده بلور قابل حصول است. لذا محققین به استفاده از موادی روی آورده اند که خواص اپتیکی شان با عواملی مانند دما، میزان آلایندگی^۱، ولتاژ و میدان مغناطیسی خارجی [3,4] قابل کنترل باشد.

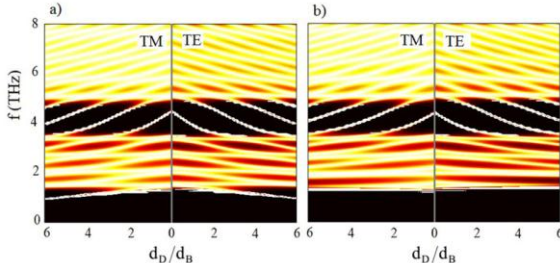
گرافن آرایه ای دو بعدی از اتم های کربن در یک شبکه ای لانه زنیوری است که بنا به قابلیت تنظیم پذیری چگالی حاملین بار با اعمال ولتاژ می تواند جایگزین مناسبی برای موادی با پارامترهای قابل کنترل باشد. علاوه بر این اتفاف نور در ناحیه فرکانسی THz در بلورهای فوتونی حاوی گرافن، نسبت به ساختارهای شامل فلزات، نیمه رساناها و ابررساناها کمتر بوده و خواص اپتیکی و الکترونیکی آن وابسته به رسانندگی سطحی گرافن می باشد که آن نیز به نوبه خود با پتانسیل شیمیایی گرافن ارتباط دارد [5]. لذا می توان با تغییر تعداد حاملین بار از طریق اعمال ولتاژ گیت خارجی خواص اپتیکی گرافن را کنترل کرد. عوامل مذکور محققین را به مطالعه بلورهای فوتونی یک بعدی

^۱ doping concentration

نانولایه‌های گرافن $(AB)^5(BA)^5$ در شکل ۲(b) رسم شده است. در این حالت به علت نبود لایه‌های گرافن، گاف باند القایی گرافن که ناشی از وجود گرافن درون ساختار بلور فوتونی بود، تشکیل نمی‌شود ولی مدنقص ساختار در داخل گاف باند برآگ دیده می‌شود. بنابراین می‌توان به صراحت بیان کرد که تشکیل این مدنقص مستقل از وجود یا عدم وجود گرافن در ساختار است و صرفاً به خاطر شکسته شدن تناوب شبکه دی‌الکتریک ساختار در لایه مرکزی پدیدار گشته است. با توجه به اینکه در ساختار $(AGBG)^5(GBGA)^5$ هیچ مدنقصی در گاف باند القایی گرافن مشاهده نشد، ساختاری را بررسی می‌کنیم که در آن لایه نقص D ضخامت غیر صفر ($d_D \neq 0$) داشته باشد. فرض می‌شود $\epsilon_D = \epsilon_B$. نحوه واپستگی طیف تراگسیل ساختار $(AGBG)^5D(GBGA)^5$ به ضخامت‌های مختلف لایه‌ی نقص در شکل ۳(a) نمایش داده شده است.



شکل ۲: تراگسیل بلور فوتونی حاوی نقص در صفحه (f,θ) در حالت $T=300\text{ K}$, $\mu_c=0.2\text{ eV}$ و قطبش‌های TM و TE با ساختارهای $(AB)^5(BA)^5$ و $(AGBG)^5(GBGA)^5$ (a)

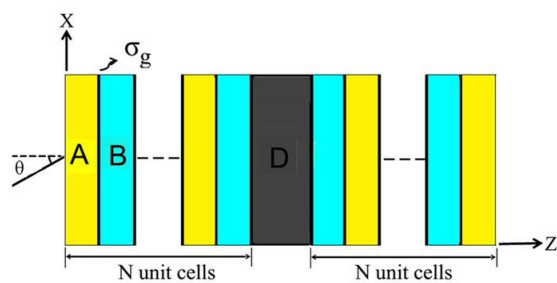


شکل ۳: طیف تراگسیل ساختار $(AGBG)^5D(GBGA)^5$ در حالت $T=300\text{ K}$, $\mu_c=0.2\text{ eV}$ در صفحه $(d_D/d_B, f)$ در حالت و قطبش‌های TM و TE در زاویه تابش $\theta=30^\circ$. در حالت (a) لایه نقص بدون نanolayer گرافن است. (b) لایه نقص حاوی نanolayer گرافن است.

که $M_{1,1}^{(1,1)}$ عنصر $(1,1)$ ماتریس انتقال کل ساختار، $M=M_{in}\left(M_A M_G M_B M_G\right)^N M_D \left(M_G M_B M_G M_A\right)^N M_{out}$ است. ماتریس‌های انتقال M_j ، میدانهای الکتریکی و مغناطیسی در دو نقطه z و $z+dz$ در هر لایه را توسط رابطه زیر به هم مربوط می‌کنند:

$$M_j = \begin{bmatrix} \cos(k_{zj} d_j) & -\frac{i}{q_z} \sin(k_{zj} d_j) \\ -iq_z \sin(k_{zj} d_j) & \cos(k_{zj} d_j) \end{bmatrix} \quad (3)$$

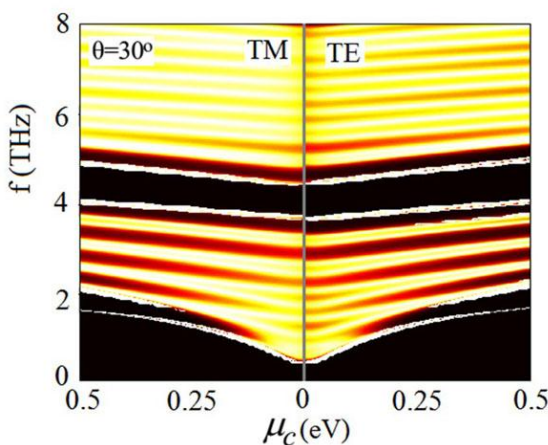
در این رابطه $j=A, B, D, G$ و برای قطبش TE در آن لایه $q_j=-k_{zj}/\omega\mu_0$. برای امواج با قطبش TM نیز محاسبات به روش مشابه انجام می‌شود.



شکل ۱: ساختار بلور فوتونی یک بعدی نقص دار حاوی نanolayer گرافن

۳- نتایج و بحث

با توجه به اتلاف کم نanolayer گرافن در فرکانس‌های تراهertz محاسبات عددی این تحقیق در ناحیه‌ی فرکانسی $THz^{(0-8)}$ انجام شده است. تراگسیل ساختار $(AGBG)^5(GBGA)^5$ در شکل ۲(a)، در صفحه (f,θ) و برای حالت $T=300\text{ K}$, $\mu_c=0.2\text{ eV}$ و قطبش‌های TE و TM رسم شده است. این ساختار علیرغم اینکه در آن $d_D=0$ انتخاب شده، دارای نقص است. قابل مشاهده است که دو گاف فوتونی کاملاً متفاوت در ناحیه فرکانسی مورد نظر تشکیل می‌شود که با رنگ تیره مشخص شده اند. گاف اول که در بازه $THz^{(1/5-1/5)}$ دیده می‌شود گاف باند القایی گرافن است که تقریباً تمام سویه است [8] و هیچ مدنقصی در آن دیده نمی‌شود. گاف باند دوم که که در محدوده $THz^{(5-5)}$ قرار دارد گاف معمولی برآگ است که یک مدنقص را در بر می‌گیرد. جهت بررسی علت فیزیکی پیدایش این مدنقص، طیف تراگسیل ساختار بدون



شکل ۴: طیف تراگسیل ساختار ^۵D(GBGA) در صفحه (μ_c, f) در حالت $d_D = 4d_B$ و قطبش‌های TE و TM در زاویه تابش $\theta = 30^\circ$.

۴- نتیجه‌گیری

در این مقاله اثر نanolایه‌های گرافن بر خواص تراگسیل یک بلور فوتونی یک بعدی حاوی نقص مورد مطالعه قرار گرفته است. نتایج نشان می‌دهد که علاوه بر مدنقص معمولی در گاف باند برآگ، یک مدنقص جدیدی در گاف باند القایی گرافن تشکیل می‌شود که ناشی از شکست تناوب شبکه گرافنی است و فرکانس آن از طریق اعمال ولتاژ گیت قابل کنترل می‌باشد.

مراجع

- [1] J. D. Joannopoulos, S. G. Johnson, J. N. Winn, R. D. Meade, *photonic crystals: modeling the flow of light*, Princeton university press, 2011.
- [2] D. R. Smith, R. Dalichaouch, N. Kroll, S. Schultz, S. L. McCall, P. M. Platzman, "Photonic band structure and defects in one and two dimensions", *J. Opt. Soc. Am. B*, Vol. 10, No.2, pp. 314-321,1993.
- [3] Y. H. Chang, Y. Y. JHU, Ch. J. Wu, "Temperature and bias dependences of defect mode in a photonic crystal containing a photonic-quantum-well defect", *Journal of optoelectronics and advanced materials*, Vol. 14, No. 3-4, pp. 185 – 192, 2012.
- [4] K. Smith, A. Chabanov, "Enhanced Transmission and Nonreciprocal Properties of a Ferromagnetic Metal Layer in One-Dimensional Photonic Crystals", *Integr. Ferroelectr: Int J.*, Vol. 131, No. 1, pp. 66-71, 2011.
- [5] A. K. Geim, "Graphene: Status and Prospects", *Science*, Vol. 324, No. 5934, pp. 1530-1534, 2009.
- [6] L. A. Falkovsky, S.S. Pershoguba, "Optical far-infrared properties of graphene monolayer and multilayers", *Phys. Rev. B*, Vol. 76, pp. 153410(1-4), 2007.
- [7] P. Yeh, A. Yariv, and C-S Hong "Electromagnetic Propagation in periodic stratified media. I. General theory", *Optical Society of America*, Vol. 67, No. 4 ,pp. 423-438, 1977.
- [8] A. Madani, S.Roshan Entezar, "Optical properties of one-dimensional photonic crystals containing graphene sheets", *Physica B*, Vol. 431, pp. 1–5, 2013.

از شکل پیداست که با افزایش ضخامت لایه نقص تعداد مدهای گاف باند برآگ بیش از یک مددخواهد بود. در حالی که مدنقص در داخل گاف باند القایی گرافن به ازای لایه‌ی نقص عریض‌تر ($d_D > 2d_B$) تشکیل می‌شود و با افزایش ضخامت لایه نقص هم چنان یک مدنقص در این گاف تشکیل می‌شود. این مطلب نشان می‌دهد که مدنقص جدید ناشی از شکست تناوب نanolایه‌های گرافن است. بنابراین مدنحصل شده مدنقص القایی گرافن نامگذاری می‌شود. برای درک بهتر منشأ فیزیکی مدنقص القایی گرافن، ساختاری در نظر می‌گیریم که در لایه نقص آن نanolایه‌های گرافن به فاصله d_B از یکدیگر جاسازی شده‌اند. در این حالت، در تناوب شبکه گرافن هیچ نقصی وارد نمی‌شود و انتظار داریم مدنقص القایی گرافن از بین برود که این امر در شکل (b) ۳ به وضوح قابل رویت است.

چنانچه ذکر شد مدنقص جدید به دلیل نقص در شبکه تناوب نanolایه‌های گرافن در ساختار بلور فوتونی تشکیل شده است و با قرار دادن نanolایه‌های گرافنی در مکان مناسب در داخل لایه نقص به منظور حفظ تناوب شبکه گرافنی، مدنقص القایی گرافن ناپدید می‌شود. بنابراین قابل پیش‌بینی است که خواص مدنقص مذکور وابسته به خواص اپتیکی گرافن باشد. برای بررسی این موضوع، نحوه وابستگی تراگسیل ساختار ^۵D(GBGA) به پتانسیل شیمیایی نانولایه‌های گرافن در شکل ۴ نمایش داده شده است. تغییر پتانسیل شیمیایی با اعمال ولتاژ گیت به لایه‌های گرافن انجام می‌گیرد. واضح است که با اعمال ولتاژ خارجی، فرکانس مجاوزه‌زدیده به طور پیوسته جابجا می‌شود. از این رو، این ساختار می‌تواند به عنوان فیلتر THz قابل کنترل مورد استفاده قرار گیرد.